

## РЕАЛЬНАЯ Р-Т-ДИАГРАММА НИТРАТА КАЛИЯ

© С.К. Асадов, И.П. Василенко, Э.А. Завадский, Б.М. Тодрис

Донецкий физико-технический институт Академии наук Украины,  
340114 Донецк, Украина

(Поступило в Редакцию 28 июля 1995 г.

В окончательной редакции 15 ноября 1995 г.)

Фазовые переходы в нитрате калия  $\text{KNO}_3$  изучались при высоких давлениях неоднократно и различными методами [1-3]. Основное внимание в исследованиях уделялось определению областей устойчивости отдельных фаз и классификации реализующихся кристаллических структур.

Полученные при этом  $P-T$ -диаграммы можно назвать схематическими, так как на них, как правило, отражены усредненные границы переходов и число реализующихся фаз. На рис. 1 приведена такая диаграмма для  $\text{KNO}_3$ . Она обобщает результаты многих измерений. Здесь фазы I, III являются ромбоэдрическими, а II и IV — орторомбическими со следующими пространственными группами симметрии:  $R\bar{3}m$ ,  $R3m$ ,  $P_{nma}$ ,  $P_{mn}2_1$  соответственно. Одной из особенностей этой диаграммы является наличие тройных точек. Мы задались целью построить реальную  $P-T$ -диаграмму  $\text{KNO}_3$ , на которой были бы указаны и области метастабильных состояний, где в зависимости от предыстории образца могут реализоваться различные фазовые состояния. Поскольку метастабильные состояния оказываются весьма устойчивыми, а области их существования обширными [4,5], такой подход кажется нам перспективным.

Наш опыт изучения метастабильных состояний, возникающих между двумя фазами [6,7], убеждает нас в том, что состояние, реализующееся в изолированной точке метастабильной области, зависит не только от температуры и давления, но и от последовательности их наложения. Поэтому для получения реальных  $P-T$ -диаграмм необходимо использовать как изотермы, так и изобары. В нашем случае это достигалось использованием газового мембранных компрессора высокого давления, в котором рабочей средой, передающей давление, служил газообразный гелий. Применение такой методики позволяло изменять давление непосредственно в процессе эксперимента во всем диапазоне исследуемых температур. Для определения границ фазовых переходов использовался дифференциально-термический метод. Измерения проводились на поликристаллических образцах размером  $4 \times 4 \times 3$  мм. Точность определения температуры — 1 К, а давления — 10 bar.

Результаты наших исследований приведены на рис. 2. Области стабильности фаз I, II, III заштрихованы. Стрелки на границах переходов указывают ход изменения температуры (повышение  $\uparrow$ , понижение  $\downarrow$ ), значки A и V — выделение либо поглощение тепла соответственно. Низкотемпературной является фаза II. Она стабильна в области, ограниченной линией  $hk\bar{m}$ . Однако при давлениях менее 1.3 kbar эта фаза сохраняется по крайней мере до 77 К.

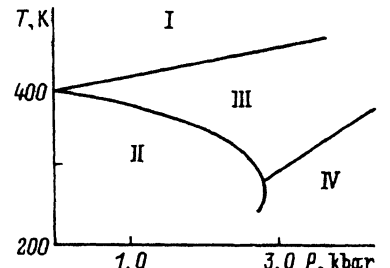


Рис. 1. Схематическая Р-Т-диаграмма  $\text{KNO}_3$ .

$\text{II} \rightarrow \text{III}$ . Обратный переход из фазы I непосредственно в фазу II невозможен. Всегда фаза III или  $\text{III}'$  оказывается промежуточной. Фаза III как в стабильном, так и в метастабильном состояниях обладает сегнетоэлектрическими свойствами<sup>[2,3]</sup> и давно привлекает внимание исследователей. Она стабильна лишь в области  $edq$ , но ее метастабильные состояния оказываются очень устойчивыми. Поэтому полезно изучить возможности сохранения фазы III. Определенную ясность по этому вопросу можно получить, анализируя рис. 2. Однако предварительно следует подчеркнуть, что линия  $bc$  определяет переход фазы III в фазу I, а  $ef$  — границу обратного перехода.

Как отмечалось ранее, положение границы устойчивости сильно зависит от последовательности изменения  $T$  и  $P$ . В точке 1 имеем стабильную фазу II. Затем изменяем  $T$  и  $P$ , двигаясь по контуру 1-2-4-5-1. В точке 1, конечно, сохраняется фаза II, и возникает она при обходе в точке 7. Это вполне очевидно. Эксперименты убеждают нас в том, что линия  $hkl$  есть граница перехода от I к II через фазу III. Нами было замечено, что положение границы  $hkl$  незначительно зависит от скорости охлаждения образца. Возможно, это связано с тем, что при возникновении фазы III, как отмечалось ранее<sup>[1]</sup>, происходит разрушение кристалла.

Доказательство зависимости положения границы устойчивости от последовательности изменения температуры и давления мы считаем одним из важных результатов данной работы. Согласно полученной Р-Т-диаграмме в точке 2, стартую из точки 1, можно получить фазу II по пути 1-2, фазу III — по пути 1-5-4-2, фазу III — по пути 1-6-3-2.

Низкотемпературная граница области стабильности фазы II ( $ml$  на рис. 2) соответствует переходом фазы III в фазу II. Для определения этой границы мы использовали траекторию 1-5-4-8-9-10. Таким образом, линия  $ml$  наблюдается только в том случае, если траектория движения огибает область стабильного существования фазы II, а реализующийся переход является необратимым, поскольку фаза II при последующем охлаждении сохраняется по крайней мере до 77 К. По виду кривой  $hklm$  можно предположить, что область устойчивости фазы II на реальной Р-Т-диаграмме оказывается замкнутой. Мы склонны считать, что для веществ, имеющих тройную точку на схематической диаграмме, подобная картина будет встречаться часто.

Следует отметить еще один обнаруженный нами интересный факт. Переход  $\text{III} \rightarrow \text{II}$  как при охлаждении на линии  $hkl$ , так и при нагреве на границе  $ml$  происходит с выделением тепла. Необратимость и экзотермический характер этого перехода на линии  $ml$  позволяют рассма-

Область стабильного существования фазы I расположена выше линии  $abc$ . Переход из фазы II непосредственно в фазу I возможен лишь при  $P < 150$  бар. Если  $P \geq 150$  бар, то указанный переход будет осуществляться через стабильное или метастабильное состояние фазы III. Граничным в данном случае оказывается давление, соответствующее точке  $d$  (500 бар). На участке  $bd$  реализуется переход  $\text{II} \rightarrow \text{III}'$  ( $\text{III}'$  — метастабильное состояние), а на участке  $dq$  — переход

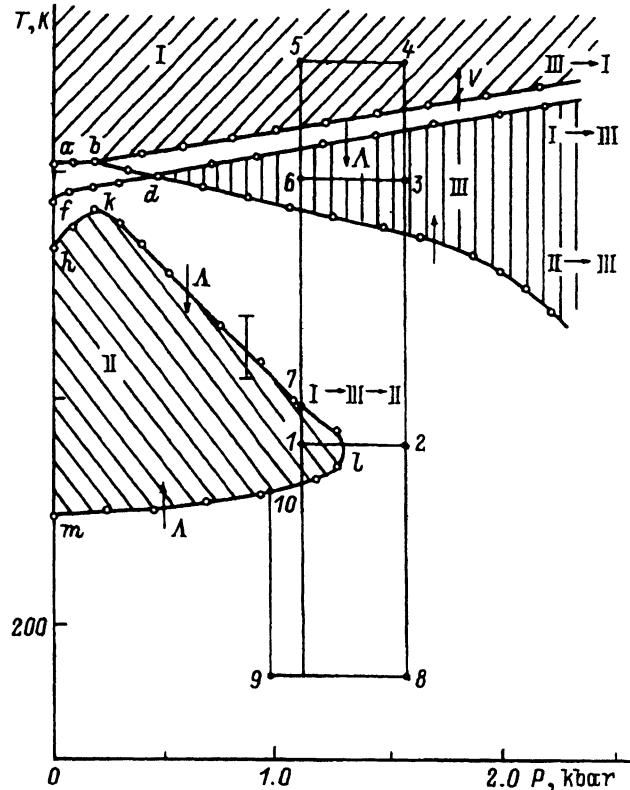


Рис. 2. Реальная  $P$ - $T$ -диаграмма  $\text{KNO}_3$ .

I, II, III — области стабильного существования фаз  $R\bar{3}m$ ,  $R3m$ ,  $P_{nma}$  соответственно.

тряивать его как релаксационный процесс, подобный кристаллизации аморфных металлов, или как переход, полученный закалкой метастабильного при низких температурах состояния и устойчивое состояние в результате отжига.

Исследуя метастабильные области, необходимо также учесть возможность закалки отдельных состояний. При изучении  $P$ - $T$ -диаграмм это явление следует исключать и изменять температуру достаточно медленно ( $\sim 1 \text{ K/min}$ ), но в случае необходимости им можно воспользоваться как способом управления свойствами вещества. В плане целенаправленного изменения свойств нитрата калия можно прибегнуть к легированию его нитратами цезия или рубидия. Предварительные эксперименты в этом направлении показали, что слабое легирование оказалось эквивалентным смещению координат на фазовой  $P$ - $T$ -диаграмме влево.

Авторы благодарят И.М. Ишкука за предоставление образцов.

#### Список литературы

- [1] Davis B.L., Adams L.H. J. Phys. Chem. Sol. **24**, 6 787 (1963).
- [2] Rapoport E., Kennedy G. J. Phys. Chem. Sol. **26**, 12, 1995 (1965).
- [3] Yanagi T. J. Phys. Soc. Jap. **20**, 8, 1351 (1965).

- [4] Goodenoough J.B., Kafalas J.A. Phys. Rev. **157**, 2, 389 (1967).  
 [5] Барьяхтар В.Г., Боровик И.М., Витебский И.М. Изв. АН СССР. Сер. физ. **44**, 7, 1401 (1980).  
 [6] Асадов С.К., Завадский Э.А., Каменев В.И., Тодрис Б.М. ФНТ **16**, 12, 1584 (1990).  
 [7] Asadov S.K., Zavadskii E.A., Kamenev V.I., Kamenev K.V., Todris B.M. Physica **B182**, 2, 167 (1992).

*Физика твердого тела, том 38, № 5, 1996  
 Solid State Physics, vol. 38, N 5, 1996*

## ПОЛЯРИЗАЦИОННЫЕ АНОМАЛИИ ЭКСИТОННЫХ СПЕКТРОВ

© Б.М. Ничович, К.Ю. Зенкова

Черновицкий государственный университет,

274012 Черновцы, Украина

(Поступило в Редакцию 8 ноября 1994 г.

В окончательной редакции 20 ноября 1995 г.)

Одной из отличительных особенностей экситона как квазичастицы является наличие дипольного момента экситонного перехода. Хорошо известно, что в молекулярных кристаллах следствием этого является давыдовское расщепление экситонного уровня на две экситонные полосы поглощения в ортогональных поляризациях внешней световой волны [1]. Вторым важным фактором, вытекающим из наличия дипольного момента у экситона, является возможность реализации непрямого вертикального фотоперехода (НВФ) [2]. Поскольку экситон-фотонное взаимодействие пропорционально проекции дипольного момента перехода на вектор поляризации света, то колебания атомов решетки кристалла естественно приводят к вращательным колебаниям (либрациям) диполя. Вследствие этого наряду с прямым превращением фотона в экситон возможен и НВФ, при котором рождение экситона сопровождается одновременным рождением (или уничтожением) либрационного фонона.

Отметим следующие черты НВФ. Матричный элемент взаимодействия электромагнитной волны с экситонным возбуждением  $D$  пропорционален  $\cos \alpha$  ( $\alpha$  — угол между поляризацией света и дипольным моментом экситона). Разлагая его в ряд по угловым смещениям экситонного диполя относительно равновесных положений, получим оператор энергии НВФ, который будет иметь составляющие, пропорциональные  $\sin \alpha$  или  $\cos \alpha$ . Следовательно, гамильтониан непрямого экситонного фотоперехода состоит из двух компонент: монополяризационной ( $\alpha = 0$ ) и деполяризационной ( $\alpha \neq 0$ ). Как показано нами ранее, учет монополяризационного НВФ приводит к температурной зависимости площади под кривой экситонного поглощения [3] и к увеличению высоты пика поглощения в области низких температур [4]. Использование идеи монополяризационного НВФ позволило адекватно объяснить температурные аномалии интегральной интенсивности и максимума экситонной полосы поглощения, экспериментально зарегистрированные на целом ряде слоистых полупроводников (GaSe, GaTe, GaS, InSe) [5].